

## اثر تعداد چرخه‌های تر و خشکشدن بر پایداری ساختمان، توزیع اندازه ذرات و سیستم منافذ خاک

### آزاده صفادوست

استادیار گروه خاکشناسی، دانشکده کشاورزی، دانشگاه بولوی سینا

(تاریخ دریافت: ۱۳۹۳/۱۰/۱۳ - تاریخ تصویب: ۱۳۹۴/۵/۶)

### چکیده

چرخه‌های تر و خشکشدن از فرایندهای مهم محیطی است که معمولاً از سازوکارهای تغییر سیستم منافذ خاک بهشمار می‌رond. همچنین، رس و ماده آلی از ویژگی‌های ذاتی خاک است که در خصوصیات ساختمان خاک اهمیت دارد. هدف از این پژوهش بررسی رابطه بین تعداد چرخه‌های تر و خشکشدن، میزان رس و مواد آلی خاک با پایداری ساختمان، توزیع اندازه ذرات و سیستم منافذ خاک بود. برخی ویژگی‌های فیزیکی نمونه‌های خاک پس از یک، سه و پنج چرخه تر و خشکشدن تعیین شد. سپس، با پایداری خاکدانه‌های خاک اولیه (خاک بدون تر و خشکشدن) مقایسه شد. نتایج نشان داد که بهبود و توسعه خاکدانه‌سازی و پایداری ساختمان خاک برای خاک‌های رسی بهویژه خاک رسی که ماده آلی بیشتری داشت، بیشتر بود. یک و سه چرخه تر و خشکشدن تنها در دو نمونه خاک رسی سبب افزایش بیشتر خاکدانه‌سازی نسبت به نمونه‌های خاک دارای رس کمتر شد؛ ولی با افزایش تعداد چرخه‌های تر و خشکشدن (پنج چرخه)، پایداری خاکدانه‌ها کاهش یافت. یافته‌های این پژوهش نشان داد که تشکیل خاکدانه‌های بزرگ غالباً به ویژگی‌های بافت خاک بستگی دارد تا به میزان ماده آلی خاک؛ و اثر مواد آلی خاک هنگامی که با میزان بالای رس خاک همراه باشد، مؤثر است. همچنین، تراکم ایجادشده در حین نمونه‌برداری طی چرخه‌های تر و خشکشدن تعدیل می‌شود و تناوب این چرخه‌ها سازوکار مهمی در بهبود ساختمان خاک است.

کلید واژگان: تراکم، خاکدانه‌سازی، نمونه‌برداری، ویژگی‌های ذاتی.

### مقدمه

ساختمان خاک ویژگی پویایی است که تحت تأثیر چرخه‌های تر و خشکشدن قرار می‌گیرد. مطالعات نشان داده است که این فرایند در خاک‌های بدون ساختمان ایجاد ساختمان می‌کند (Telfair *et al.*, 1957; Safadoust *et al.*, 2012c). در فرایند تر و خشکشدن، فشار ناشی از حبس هوا و آماس ناهگمن توده خاک هنگام خیسشدن، سبب شکسته شدن توده خاک به خاکدانه‌های ریزتر می‌شود (Shiel *et al.*, 1988). همچنین، مرطوبشدن خاک موجب سستشدن پیوندهای بین ذرات بهویژه پیوندهای ناپایدار می‌شود، به گونه‌ای که پیوندهای واندروالس در اثر آب‌گیری بین ذرات، به شدت کاهش می‌یابد. tomo and Dexter (1981) در بررسی اثر چرخه‌های تر و خشکشدن متوالی بر پایداری ساختمان خاک نشان دادند که در تمامی خاک‌ها با افزایش چرخه‌های تر و خشکشدن، مقدار خاکدانه‌های بزرگ‌تر از  $0.25\text{ میلیمتر}$  افزایش یافت. همچنین، Horn and Dexter (1989) گزارش کردند که چرخه‌های تر و خشکشدن متوالی باعث آرایش یافتن مجدد ذرات و افزایش پایداری خاکدانه‌ها می‌شود. آن‌ها گزارش کردند که تر و خشکشدن سبب سهولت جابه‌جایی مواد پیونددهنده بین ذرات خاک می‌شود و در اتصال ذرات به

آثار متقابل محیطی و زیستی، شرایط فیزیکی خاک، بهویژه تکامل ساختمان خاک را تحت تأثیر قرار می‌دهد. چرخه‌های تر و خشکشدن از عوامل محیطی شناخته شده است که بر فرایند خاکدانه‌سازی در برخی خاک‌ها اثر می‌گذارد (Pires *et al.*, 2007). از سویی، کانی‌های رسی و مواد آلی از ویژگی‌های ذاتی خاک است که نقش مهمی در توسعه ساختمان خاک دارد (Le Bissonnais and Singer, 1990). با توجه به همبستگی زیاد ساختمان خاک و ویژگی‌های هیدرولیکی خاک مانند هدایت هیدرولیکی، نفوذ آب در خاک، رطوبت موجود در خاک و تهویه خاک، اطلاع از ساختمان خاک و چگونگی توزیع اندازه منافذ بسیار مهم است. یکی از عوامل مهمی که ساختمان خاک و در نتیجه ویژگی‌های فیزیکی خاک را تغییر می‌دهد، تراکم خاک است. تراکم خاک از طریق فعالیت کرم‌های خاکی (Zund *et al.*, 1997)، کشت و کار و چرخه‌های تر و خشکشدن (Pillai and McGarry, 1999) تعدیل می‌شود.

روش الک تر (Yoder, 1936) است. این روش سبب تفکیک خاکدانه‌های پایدار در آب، با اندازه‌های مختلف می‌شود. بررسی مقاومت کششی خاکدانه‌ها نیز یکی از روش‌های ارزیابی ساختمان خاک است (Rahimi *et al.*, 2000). مقاومت کششی خاک اسختمان خاک است (Dexter and Watts, 2000).

در خاک‌های زراعی عموماً خاک‌ورزی در پاییز سبب ایجاد تغییراتی در ساختمان خاک می‌شود که پس از گذشت چرخه‌های تر و خشکشدن متواالی، خاک دارای ساختمان جدیدی می‌شود و متعاقباً پایداری ساختمان آن تغییر می‌کند. لذا، با توجه به شرایط آب‌وهوای منطقه همدان و شرایط جوی متفاوت در شباهنگ روز، هدف از انجام این پژوهش بررسی اثر تعداد چرخه‌های مختلف تر و خشکشدن بر پایداری و ساختمان خاک در نمونه خاک‌های دارای میزان رس و مواد آلی متفاوت بود.

### مواد و روش‌ها

پس از بررسی اولیه برخی خاک‌های استان همدان، چهار نوع خاک مختلف از مزارع به گونه‌ای انتخاب شد که نماینده خاک‌های دارای رس و ماده آلی پایین (خاک ۱)، رس پایین-ماده آلی بالا (خاک ۲)، رس و ماده آلی بالا (خاک ۳) و رس بالا-ماده آلی پایین (خاک ۴) باشد. از هر منطقه مقداری نمونه خاک دست‌خورده و شانزده نمونه خاک دست‌خورده (با استفاده از استوانه با قطر ۵/۱ سانتی‌متر و ارتفاع ۵ سانتی‌متر) برداشت شد.

نمونه خاک‌های مورد نظر به آزمایشگاه منتقل و هواختشک شد. سپس، ویژگی‌های آن‌ها شامل توزیع اندازه ذرات اوایله به روش پی‌پت (Gee and Bauder, 1986)، مقدار ماده آلی به روش اکسایشی تر (Walkley and Black, 1934)، جرم مخصوص ظاهری به روش کلوخه (Black and Hartge, 1986)، استفاده از Hmتر (Thomas, 1996) و هدایت الکتریکی با استفاده از ECمتر (Rhoades, 1996) اندازه‌گیری شد. برخی ویژگی‌های نمونه خاک‌های مورد بررسی در جدول ۱ آورده شده است.

یکدیگر نقش مهمی ایفا می‌کند، به گونه‌ای که خشکشدن سبب افزایش نیروهای کشش سطحی یا تنش مؤثر ناشی از مکش ماتریک می‌شود و ذرات خاک را به یکدیگر نزدیک می‌کند. همچنین، هلال آب اطراف ذرات سبب انتقال مواد پیونددۀنده (ذرات کلوبیدی، مواد آلی محلول و معلق و کربنات کلسیم) به نقاط تماس بین ذرات خاک می‌شود (Kay, 1990; Zhang *et al.*, 2005).

از طرفی مطالعات نشان داده است که چرخه‌های تر و خشکشدن یا انجامد و ذوبشدن متواالی سبب سستشدن خاکدانه‌ها به دلیل ایجاد ترک‌های ریز می‌شود (Utomo and Dexter, 1981). علت تشکیل ترک‌ها، افزایش حجم آب خاک، همچنین انبساط و انقباض ناهمگن در حین تر و خشکشدن است که سبب گسترشی پیوندهای خاک و ایجاد ترک می‌شود. ترک‌های ایجادشده ناشی از انجامد و ذوبشدن با چشم غیرمسلح دیده می‌شود، در حالی که ترک‌های ناشی از چرخه‌های تر و خشکشدن چندان مشهود نیست. مطالعات متعددی نشان داده است که هنگام نمونه‌برداری دست‌خورده از خاک با استوانه‌های نمونه‌برداری، ساختمان خاک در کناره‌های سیلندر نمونه‌برداری تغییر می‌کند (Defossez and Richard, 2002; Vogel and Roth, 2003; Pires *et al.* 2004 Pires *et al.* 2007) تغییرات طی دوره‌های تر و خشکشدن اصلاح می‌شود (.

همان‌طور که اشاره شد از دیگر عوامل مؤثر بر خاکدانه‌سازی، رس خاک و مواد آلی است (Franzluebberes, 2002). مواد آلی سبب چسبندگی موادمعدنی به یکدیگر می‌شود یا به شکل توده‌های ریز، در برخی موارد همانند شبکه عمل می‌کند و سبب در برگرفتن ذرات خاک، تشکیل ساختمان و پایداری آن می‌شود (Tiplittgr *et al.*, 1968) و Elustondo (1990) معتقدند که نقش مثبت رس در افزایش پایداری ساختمان خاک به دلیل توانایی رس در ایجاد پیوند بین ذرات معدنی-معدنی-آلی است. آن‌ها همچنین، به نقش مثبت رس در نگهداری ماده آلی خاک اشاره کردند، به طوری که بخشی از مواد آلی چسبیده به ذرات رس با افزایش مقدار رس خاک افزایش می‌یابد.

Angers and Carter (1996) معتقدند که واژه پایداری ساختمان خاک به توانایی خاک در نگهداری آرایش ذرات جامد و منافذ بین آن‌ها هنگام مواجه شدن با تنش‌های مختلف گفته می‌شود؛ و روش‌ها و شاخص‌های متعددی برای ارزیابی آن پیشنهاد شده است. یکی از روش‌های رایج برای ارزیابی پایداری ساختمان خاک، بررسی توزیع اندازه خاکدانه‌ها با استفاده از

جدول ۱. برخی ویژگی‌های نمونه خاک‌های مورد بررسی\*

شماره خاک	طول و عرض جغرافیایی	بافت خاک	Sand	Silt	OM	CaCO <sub>3</sub>	pH	EC	$\rho_s$	$\rho_b$
۱	۴۸° ۰۲' ۰۷" E , ۳۴° ۲۹' ۰۹" N	SCL	۶۷/۰	۷/۰	۰/۵۶	۲۲/۵	۷/۳	۰/۵۵	۲/۶۶۵	۱/۵۵
۲	۴۷° ۵۹' ۱۶" E , ۳۴° ۳۹' ۱۴" N	SCL	۶۰/۰	۱۲/۰	۲/۲۱	۲۴/۰	۷/۸	۰/۶۹	۲/۶۵۲	۱/۴۵
۳	۴۸° ۱۰' ۰۳" E , ۳۴° ۲۰' ۰۶" N	C	۱۷/۰	۲۶/۰	۲/۱۰	۲۲/۰	۷/۲	۰/۵۳	۲/۶۸۰	۱/۲۶
۴	۴۸° ۷۴' ۱۱" E , ۳۴° ۳۵' ۱۱" N	C	۲۱/۰	۳۴/۰	۰/۸۳	۱۹/۰	۷/۵	۰/۶۲	۲/۷۳۲	۱/۳۴

\* رس (‰): pH: کربنات کلسیم (%): CaCO<sub>3</sub>: ماده آبی (%): Silt: شن (%): OM: اسیدیتۀ خاک، EC: هدایت الکتریکی (dS m<sup>-1</sup>): ρ<sub>s</sub>: جرم مخصوص حقيقی (Mg m<sup>-3</sup>): ρ<sub>b</sub>: جرم مخصوص ظاهري (Mg m<sup>-3</sup>): SCL: رسم رسی شنی; C: رسی شنی

اندازه‌گیری مقاومت کششی خاکدانه‌ها به روش غیرمستقیم یا برزیلی برای خاکدانه‌های اندازه ۶/۳-۸/۳ میلی‌متر انجام شد. در این روش پس از جدا کردن خاکدانه‌های مذکور به روش الک خشک، سی عدد از خاکدانه‌ها به طور جداگانه وزن شد. نیروی بیشینه شکست برای شکسته شدن هر یک از آن‌ها با دستگاه تکمحوری با سرعت بارگذاری ۱/۲ سانتی‌متر بر دقیقه اندازه‌گیری شد. در نهایت، مقاومت کششی خاکدانه‌ها با استفاده از رابطه ۲ محاسبه شد (Dexter and Kroesbergen, 1985).

$$Y = ۵ / ۷۶ \frac{F}{d_{eff}^2} \quad (\text{رابطه } ۲)$$

که در این رابطه F نیروی فشاری مورد نیاز برای شکستن خاکدانه‌ها، d<sub>eff</sub> قطر مؤثر خاکدانه و Y مقاومت کششی خاکدانه‌ها است. قطر مؤثر خاکدانه (d<sub>eff</sub>) نیز با استفاده از رابطه ۳ محاسبه شد.

$$d_{eff} = d \cdot \left( \frac{M_a}{M} \right)^{\frac{1}{3}} \quad (\text{رابطه } ۳)$$

که در این رابطه d<sub>0</sub> قطر متوسط خاکدانه‌ها، M<sub>0</sub> میانگین جرم سی عدد خاکدانه و M<sub>a</sub> جرم خاکدانه مورد نظر است (Dexter, 1988).

برای تعیین منحنی رطوبتی از نمونه‌های دست‌نخورده (با استفاده از استوانه با قطر ۵/۱ و ارتفاع ۵ سانتی‌متر) استفاده شد. منحنی مشخصه رطوبتی (SWC) با استفاده از دستگاه‌های جعبه شن برای مکش‌های پایین‌تر از ۱۰۰ سانتی‌متر (Clement, 1966) و صفحات فشاری برای مکش‌های ۱۰۰ تا ۱۵۰۰ سانتی‌متر (Klute, 1986) تعیین شد. برای محاسبه گنجایش زراعی (FC)، نقطه پژمردگی (PWP) و مقدار آب فراهم (AWC) خاک نیز از داده‌های منحنی مشخصه رطوبتی خاک استفاده شد. بدین صورت که مقدار رطوبت خاک در مکش‌های ماتریک ۱۰۰ و ۱۵۰۰ سانتی‌متر به ترتیب FC و PWP در نظر گرفته شد و مقدار آب فراهم با استفاده از رابطه ۴ محاسبه شد.

تیمارهای تر و خشک شدن شامل بدون چرخه تر و خشک شدن (T0)، یک چرخه تر و خشک شدن (T1)، سه چرخه تر و خشک شدن (T3) و پنج چرخه تر و خشک شدن (T5) در نظر گرفته شد. به منظور انجام چرخه‌های تر و خشک شدن، نمونه‌های خاک دست‌نخورده دست‌نخورده ابتدا به آهستگی طی ۲۴ ساعت از زیر ستون اشباع شد. سپس، در فصل تابستان و در آفتاب به مدت یک تا دو هفته در هوای آزاد قرار گرفت تا هوا-خشک شود؛ بدین صورت که نمونه‌های خاک پس از گذشت یک هفته، در زمان‌های مختلف وزن می‌شد و چنانچه پس از سه بار وزن کردن در طول یک هفته تعییر وزنی در آن‌ها مشاهده نمی‌شد، نمونه هوا-خشک در نظر گرفته می‌شد. برای هر نمونه خاک، در هر تیمار، مقداری از نمونه خاک دست‌نخورده و چهار نمونه دست‌نخورده، تر و خشک شد. پس از آماده شدن نمونه خاک‌های مورد نظر به روش مذکور، مقداری از هر خاک به آرامی از الک ۸ میلی‌متری عبور داده شد. برای ارزیابی پایداری ساختمان خاک‌های آماده شده از روش الک تر با سرعت ۳۰ نوسان در دقیقه و ارتفاع نوسان ۱/۳ سانتی‌متر استفاده شد (Khazaei et al., 2008). بدین ترتیب که ۵۰ گرم از خاک الک شده روی یک سری الک (به ترتیب از بالا به پایین دارای قطر ۴، ۲، ۱، ۰/۵، ۰/۲۵ و ۰/۰۵ میلی‌متر) ریخته شد و به مدت ۱۰ دقیقه با آب معمولی تکان داده شد. پس از آن، الک‌ها را به آرامی از آب خارج کردند و خاکدانه‌های باقی‌مانده روی هر الک در آون و در دمای ۱۰۵ درجه سانتی‌گراد خشک و سپس توزین شد. میانگین وزنی قطر خاکدانه‌ها (MWD) با استفاده از فرمول ۱ محاسبه شد (Yoder, 1936).

$$MWD = \sum_{i=1}^n \bar{x}_i w_i \quad (\text{رابطه } ۱)$$

که در این رابطه n تعداد دامنه اندازه خاکدانه،  $\bar{x}_i$  میانگین قطر خاکدانه‌های روی هر الک، و w<sub>i</sub> نسبت وزن خشک خاکدانه‌های روی هر الک i به وزن خشک کل خاکدانه‌های خاک (پس از تصحیح شن و سنگریزه) است. MWD برای هر نمونه خاک تیمارشده در ده تکرار تعیین شد.

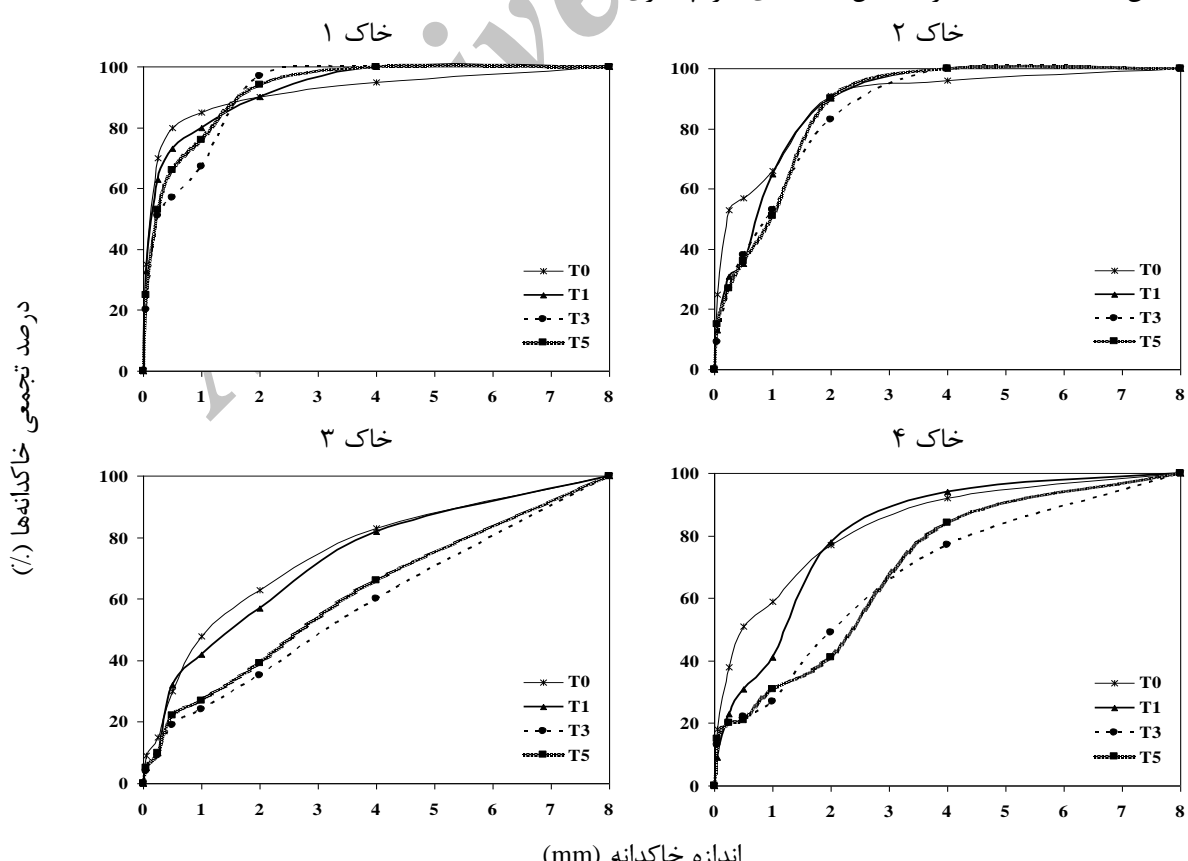
ساختمان خاک شد، به گونه‌ای که در نمونه خاک ۳ بیش از ۹۰ درصد خاکدانه‌ها اندازه‌ای بزرگ‌تر ۰/۲۵ میلی‌متر داشت. در نمونه خاک ۴ و دارای ماده آلی کمتری نسبت به نمونه خاک ۳، این مقدار به کمتر از ۸۰ درصد رسید. این موضوع بیانگر پایداری بیشتر ساختمان خاک در خاک‌های رسی است، به طوری که حتی حدود ۳۰ درصد (میانگین T1، T3 و T5) از خاکدانه‌های خاک ۳ و ۱۸ درصد (میانگین T1، T3 و T5) از خاکدانه‌های نمونه خاک ۴ اندازه‌ای بزرگ‌تر از ۴ میلی‌متر داشت، در حالی که در نمونه خاک‌های ۱ و ۲ خاکدانه‌ای در این دامنه قرار نگرفت. Safadoust و همکاران (2011، 2012a، 2012b) نیز گزارش کردند که اعمال چرخه‌های تر و خشک‌شدن و یخ‌زدن و ذوب‌شدن سبب ایجاد ساختمان خاک در خاک‌های بدون ساختمان، بهویژه در خاک‌های رسی، می‌شود. همان‌گونه که در شکل ۱ مشخص است، اعمال یک و سه چرخه تر و خشک‌شدن سبب تشكیل خاکدانه‌های با قطر بزرگ‌تر شد ولی پس از پنج چرخه تر و خشک‌شدن به علت ایجاد درز و ترک‌های ریز در خاکدانه‌ها، پایداری آن‌ها کمتر و میزان خاکدانه‌های ریز بیشتر شد.

$$\text{AWC} = \text{FC} - \text{PWP} \quad (رابطه ۴)$$

## نتایج و بحث

تفاوت توزیع اندازه خاکدانه‌های نمونه خاک‌های مختلف طی چرخه‌های متفاوت تر و خشک‌شدن در شکل ۱ نشان داده شده است. در هر نمونه خاک فاصله بین منحنی‌ها نشان‌دهنده تفاوت ایجادشده در پایداری ساختمان خاک طی چرخه‌های تر و خشک‌شدن است.

در نمونه خاک ۱ که میزان رس و ماده آلی کم بود (جدول ۱)، چرخه‌های تر و خشک‌شدن سبب تغییر قابل‌ملاحظه‌ای در پایداری ساختمان خاک نشد. همان‌طور که مشاهده می‌شود، پس از انجام آزمایش‌های الک تر، اکثر خاکدانه‌ها اندازه‌ای کوچک‌تر از ۰/۲۵ میلی‌متر دارد (T1 حدود ۶۳ درصد؛ T3 حدود ۵۱ درصد و T5 حدود ۵۳ درصد). در نمونه خاک ۲ و دارای رس کم ولی میزان ماده آلی بیش، این مقدار حدوداً به کمتر از ۳۰ درصد رسید (میانگین T1 و T3)، که نشان‌دهنده نقش ماده آلی در پایداری ساختمان خاک است. این در حالی است که نتایج نشان داد در نمونه خاک‌های ۳ و ۴ که دارای رس بیشتری بود، اعمال چرخه‌های تر و خشک‌شدن سبب ایجاد تغییرات قابل‌ملاحظه‌ای در پایداری



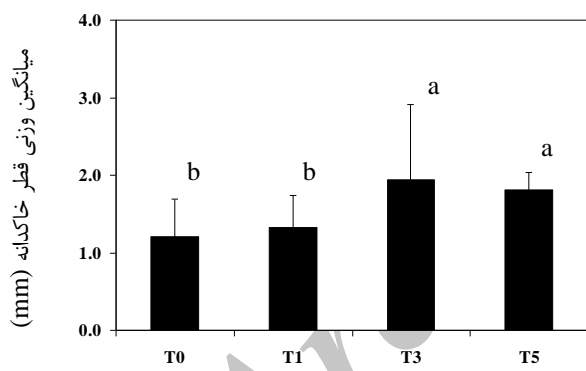
شکل ۱. اثر چرخه‌های متفاوت تر و خشک‌شدن (بدون تر و خشک‌شدن T0؛ یک چرخه T1؛ سه چرخه T3 و پنج چرخه T5) بر توزیع اندازه خاکدانه‌ها در خاک‌های مورد بررسی (خاک ۱: رس و ماده آلی پایین، خاک ۲: رس پایین - ماده آلی بالا، خاک ۳: رس بالا - ماده آلی پایین)

جدول ۲. میانگین وزنی قطر خاکدانه‌ها (mm) در چرخه‌های مختلف تر و خشک شدن (بدون تر و خشک شدن T0؛ یک چرخه T1؛ سه چرخه T3 و پنج چرخه T5) در نمونه خاک‌های مورد بررسی

T5	T3	T1	T0	شماره خاک
۰/۶۱ <sup>a</sup> ( $\pm 0/17$ )	۰/۶۱ <sup>a</sup> ( $\pm 0/21$ )	۰/۵۹ <sup>a</sup> ( $\pm 0/09$ )	۰/۵۴ <sup>a</sup> ( $\pm 0/05$ ) <sup>*</sup>	۱
۱/۰۵ <sup>a</sup> ( $\pm 0/48$ )	۱/۱۴ <sup>a</sup> ( $\pm 0/34$ )	۰/۹۵ <sup>b</sup> ( $\pm 0/33$ )	۰/۹۰ <sup>b</sup> ( $\pm 0/18$ )	۲
۳/۱۲ <sup>b</sup> ( $\pm 0/25$ )	۳/۴۰ <sup>a</sup> ( $\pm 0/11$ )	۲/۲۲ <sup>c</sup> ( $\pm 0/23$ )	۲/۰۵ <sup>d</sup> ( $\pm 0/72$ )	۳
۲/۴۹ <sup>b</sup> ( $\pm 0/44$ )	۲/۶۱ <sup>a</sup> ( $\pm 0/62$ )	۱/۵۲ <sup>c</sup> ( $\pm 0/62$ )	۱/۳۴ <sup>d</sup> ( $\pm 0/53$ )	۴

\* اعداد داخل پرانتز نشان دهنده انحراف معیار داده‌هاست.

گزارش کردند که رس مهم‌ترین عامل تشکیل خاکدانه و موجب پایداری ساختمان خاک است. با مقایسه نمونه خاک ۳ با نمونه خاک‌های ۱، ۲ و ۴ مشاهده می‌شود که هنگامی که رس و ماده آلی در کنار هم باشند، نقش آن‌ها در افزایش پایداری ساختمان خاک نسبت به اثر هر کدام به تنها بیشتر خواهد شد، به طوری که مقدار MWD در نمونه خاک ۳ به ترتیب ۸۶ درصد، ۶۴ درصد و ۲۴ درصد بیشتر از نمونه خاک‌های ۱، ۲ و ۴ به‌دست آمد (جدول ۲).



تعداد چرخه‌های تر و خشک شدن

شکل ۲. تأثیر تعداد چرخه‌های تر و خشک شدن بر میانگین وزنی قطر خاکدانه‌ها (میانگین نمونه خاک‌های مورد بررسی)

نتایج نشان می‌دهد که در هر سه چرخه تر و خشک شدن (یک، سه و پنج چرخه) مقدار مقاومت کششی خاکدانه‌ها در نمونه خاک ۳ و دارای بیشترین مقدار رس و ماده آلی، بیشتر به‌دست آمد (جدول ۳). Boravka *et al.* (1997) نیز در بررسی تأثیر رس بر تشکیل ساختمان خاک، نشان دادند که با افزایش درصد رس، پایداری خاکدانه‌ها افزایش می‌یابد. آن‌ها دریافتند که نوع کانی‌های رس نیز عامل مهمی در میزان پایداری خاکدانه‌های است. اثر مثبت رس به نقش آن در خاکدانه‌سازی، ایجاد درز و ترک ناشی از انقباض و انبساط و به عبارتی نقش فیزیکی و شیمیایی آن برمی‌گردد. از طرفی Dexter and Watts (2000) دریافتند که با افزایش مقدار ماده آلی، مقاومت کششی

میانگین وزنی قطر خاکدانه‌ها (MWD) و مقاومت کششی خاکدانه (Y)، به منزله شاخص‌هایی از پایداری ساختمان خاک، برای نمونه خاک‌های آماده شده در هر چرخه از فرایندهای تر و خشک شدن بررسی شد (جدول‌های ۲ و ۳).

با مقایسه MWD نمونه خاک‌های مختلف قبل و بعد از چرخه‌های تر و خشک شدن مشخص می‌شود که به طور کلی تر و خشک شدن سبب افزایش پایداری خاکدانه‌ها و ساختمان خاک شد (جدول ۲). همان‌طور که مشاهده می‌شود در نمونه خاک ۳ که میزان رس و ماده آلی بالا بود، میزان MWD بیشتر از سایر خاک‌ها به دست آمد (جدول ۲)، به طوری که MWD (میانگین چرخه‌های تر و خشک شدن) در خاک ۱، ۰/۵۹ در خاک ۲، ۰/۱۰۱ در خاک ۳، ۰/۲۷۰ و در خاک ۴، ۰/۹۹ میلی‌متر به‌دست آمد. در واقع، چرخه‌های تر و خشک شدن با تغییر در اندازه منفذ و شکل‌گیری مجدد خاکدانه‌های خاک مقاومت خاک، چسبندگی ذرات، اندازه و پایداری خاکدانه‌ها و اندازه منفذ را تحت تأثیر قرار می‌دهد (Telfair *et al.*, 1957; Newman and Thomasson, 1957).

همچنین، مشاهده می‌شود با افزایش تعداد چرخه‌های تر و خشک شدن (از یک چرخه به سه چرخه) پایداری خاکدانه‌ها بیشتر شد، ولی پس از سه چرخه، افزایش بیشتر تعداد چرخه‌ها (پنج چرخه) سبب کاهش پایداری خاکدانه‌ها شد که از نظر آماری این کاهش (بین T3 و T5) معنادار نبود (شکل ۲). و همکاران (2007) گزارش کردند که حداقل سه چرخه تر و خشک شدن برای تشکیل مجدد ساختمان خاک لازم است. همان‌طور که مشاهده می‌شود افزایش MWD در نمونه خاک‌های ۳ و ۴ بیشتر مشهود است، که نشان دهنده نقش غالب رس در پایداری ساختمان خاک است که با یافته‌های Shainberg *et al.* (1981) مطابقت دارد. آن‌ها گزارش کردند که با افزایش مقدار رس، پایداری ساختمان خاک افزایش می‌یابد، و با بررسی عوامل مختلفی که بر پایداری خاکدانه‌ها نقش دارند

خاک تغییر می‌کند، به طوری که نمونه خاک در لب سیلیندرها فشرده و متراکم می‌شود (Pires *et al.*, 2007) و همکاران (2004) با مطالعه تأثیر سیلیندرهای نمونه برداری با اندازه‌های مختلف بر نمونه خاک (خاک لومشنی) گزارش کردند که افزایش جرم مخصوص ظاهری خاک در کناره‌های سیلیندرهای نمونه برداری نسبت به مرکز نمونه سبب تغییر در توزیع اندازه منافذ خاک می‌شود. این موضوع سبب خطا در رابطه با بررسی ساختمان خاک و مدیریت‌های زراعی اعمال شده بر خاک می‌شود (Pagliai *et al.*, 1987).

همان‌طور که مشاهده می‌شود، با اعمال چرخه‌های تر و خشک‌شدن در نمونه‌های سیلیندری این تغییرات تعدیل شد، به طوری که پس از سه چرخه تر و خشک‌شدن، ویژگی‌های اندازه‌گیری شده در سیلیندرهای نمونه برداری تقریباً همانگ با نمونه کلخه‌ای شد و تفاوت معناداری بین آن‌ها مشاهده نمی‌شود (جدول ۴). مطالعات نشان داده است چرخه‌های تر و خشک‌شدن آثار چشمگیری بر ساختمان خاک در مقیاس میکروسکوپی (Watts *et al.*, 2001) و ماکروسکوپی (Shiel *et al.*, 1988) دارد. تر شدن سبب تغییراتی به واسطه آamas غیربکنوخت، حبس هوا و تراکم و گرمای پخشیدگی می‌شود. در خشک‌شدن نیز ذرات خاک در نتیجه تنش مؤثر حاصل از افزایش مکش آب- خاک (Kay, 1990) و جای‌گیری ذرات ریز در بین ذرات درشت‌تر، دوباره چیده می‌شود. این فرایندها بیشتر در خاک‌های رسی مشهود است (Zhang *et al.*, 2005).

در شکل ۳ منحنی مشخصه رطوبتی برای نمونه‌های سیلیندری پس از چرخه‌های مختلف تر و خشک‌شدن نشان داده شده است. همان‌طور که مشاهده می‌شود با اعمال یک و سه چرخه تر و خشک‌شدن میزان رطوبت نگهداری شده در تمامی مکش‌های ماتریک افزایش یافته است، که این تغییرات به ویژه در نمونه خاک‌های رسی در مکش‌های پایین مشهود است. ولی اعمال بیشتر چرخه‌های تر و خشک‌شدن (پنج چرخه) سبب کاهش مقدار رطوبت نگهداری شده، به ویژه در مکش‌های پایین شده است. این امر ممکن است ناشی از خردشدن بیشتر ذرات خاک در طی پنج چرخه تر و خشک‌شدن و جای‌گیری آن‌ها در منافذ درشت و در نتیجه کاهش حجم منافذ خاک باشد.

خاکدانه‌ها افزایش می‌یابد. آن‌ها خاک‌هایی با مدیریت‌های مختلف را بررسی کردند و نشان دادند که ماده آلی تأثیر مثبتی در افزایش مقاومت کششی خاکدانه‌ها دارد.

همان‌طور که جدول ۳ نشان می‌دهد، سه چرخه تر و خشک‌شدن سبب افزایش مقاومت کششی خاکدانه‌ها، به علت افزایش پایداری و استحکام آن‌ها شده است، در حالی که افزایش تعداد چرخه‌های تر و خشک‌شدن به پنج چرخه سبب کاهش Utomo and Dexter (1981) دریافتند که تر و خشک‌شدن متوالی باعث کاهش مقاومت کششی خاکدانه‌ها طی فصول مختلف سال می‌شود. آن‌ها همچنین، گزارش کردند تر و خشک‌شدن موجب افزایش تردی خاک می‌شود. کاهش مقاومت خاکدانه‌ها حین تر و خشک‌شدن، نتیجه ایجاد ترک‌های ریز به وسیله انبساط ناهمگن، سپس انقباض خاکدانه‌هاست. همچنین، تر و خشک‌شدن ناهمگن سبب افزایش قنش‌های درونی و ترک‌های درون خاکدانه، در خاکدانه‌های بزرگ‌تر می‌شود Utomo and McKenzie and Grant (1992) و همکاران (1981) و Dexter (1987) گزارش کردند که خاکدانه‌های مجاور ریشه نسبت به خاکدانه‌های دور از ریشه، مقاومت کششی کمتر و تردی بیشتری دارد. در واقع، به دلیل تر و خشک‌شدن و شدیدبودن آن، این خاکدانه‌ها نسبت به خاکدانه‌های دور از ریشه، تردی بیشتری دارد.

در جدول ۴ ویژگی‌هایی از خاک شامل جرم مخصوص ظاهری، رطوبت اشباع، گنجایش زراعی، نقطه پژمردگی دائم و مقدار آب قابل استفاده در خاک به صورت کلخه و نمونه برداری شده با سیلیندر نمونه برداری در چرخه‌های مختلف تر و خشک شدن نشان داده شده است. همان‌گونه که نتایج نشان می‌دهد، در همه نمونه‌های خاک، در نمونه سیلیندری، جرم مخصوص ظاهری افزایش و رطوبت اشباع، گنجایش زراعی و مقدار آب قابل استفاده نسبت به نمونه کلخه‌ای کاهش یافته است، که نشان‌دهنده تغییر در توزیع اندازه منافذ در نمونه‌های خاک هنگام نمونه برداری با استفاده از سیلیندرهای نمونه برداری است. مطالعات نیز نشان داده است که ساختمان خاک تحت تأثیر نمونه برداری قرار می‌گیرد و طی نمونه برداری آرایش منافذ

جدول ۳. مقاومت کششی خاکدانه‌ها (kPa) در چرخه‌های مختلف تر و خشک‌شدن (بدون تر و خشک‌شدن T0؛ یک چرخه T1؛ سه چرخه T3 و پنج چرخه T5) در نمونه خاک‌های مورد بررسی

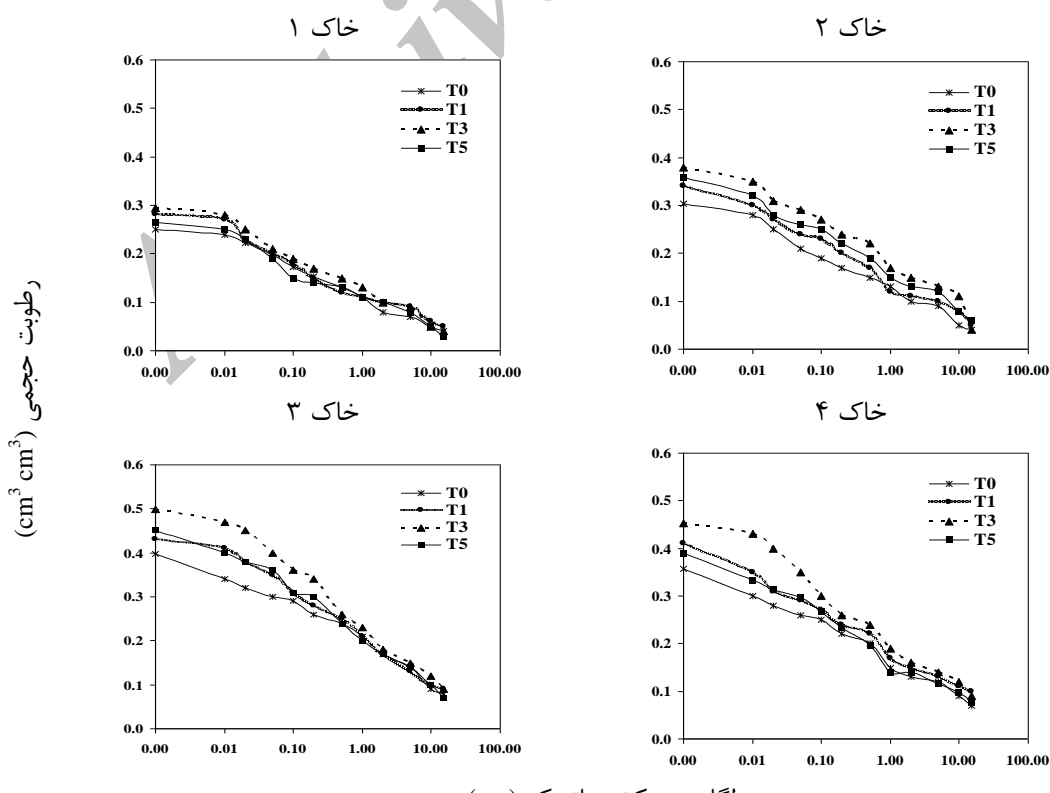
				شماره خاک
T5	T3	T1	T0	۱
۷۲ <sup>a</sup> ( $\pm 18$ )	۸۶ <sup>a</sup> ( $\pm 12$ )	۶۴ <sup>b</sup> ( $\pm 10$ )	۶۲ <sup>b</sup> ( $\pm 14$ ) <sup>*</sup>	۲
۹۱ <sup>b</sup> ( $\pm 15$ )	۱۱۲ <sup>a</sup> ( $\pm 17$ )	۹۰ <sup>b</sup> ( $\pm 8$ )	۸۳ <sup>b</sup> ( $\pm 10$ )	۳
۱۸۷ <sup>a</sup> ( $\pm 26$ )	۱۹۳ <sup>a</sup> ( $\pm 22$ )	۱۶۹ <sup>b</sup> ( $\pm 21$ )	۱۶۲ <sup>b</sup> ( $\pm 18$ )	۴
۱۸۰ <sup>a</sup> ( $\pm 19$ )	۱۸۴ <sup>a</sup> ( $\pm 10$ )	۱۶۱ <sup>b</sup> ( $\pm 11$ )	۱۵۷ <sup>b</sup> ( $\pm 20$ )	

\* اعداد داخل پرانتز نشان دهنده انحراف معيار داده‌هاست.

جدول ۴. جرم مخصوص ظاهری ( $Mg\ m^{-3}$ ), رطوبت اشباع ( $cm^3\ cm^{-3}$ ), نقطه پذیردگی زراعی (FC)، نقطه پذیردگی دایم (PWP) و مقدار آب قابل استفاده (AWC) در چرخه‌های مختلف ترو خشک شدن (بدون ترو خشک شدن T0؛ یک چرخه T1؛ سه چرخه T3 و پنج چرخه T5) در نمونه خاک‌های مورد بررسی

شماره حاک	ویژگی‌های اندازه‌گیری شده	نمونه کلوخه‌ای	اندازه‌گیری شده در	T0	T1	T3	T5
$\rho_b$	$1/155^a\ (\pm 0/15)$			$1/162^a\ (\pm 0/09)$	$1/161^a\ (\pm 0/20)$	$1/156^a\ (\pm 0/13)$	$1/159^a\ (\pm 0/21)$
$\theta_s$				$0/42^a\ (\pm 0/04)$	$0/40^a\ (\pm 0/09)$	$0/42^a\ (\pm 0/09)$	$0/40^a\ (\pm 0/11)$
FC	$0/142^a\ (\pm 0/02)$			$0/131^b\ (\pm 0/02)$	$0/137^b\ (\pm 0/05)$	$0/144^a\ (\pm 0/03)$	$0/120^c\ (\pm 0/04)$
PWP	$0/05^a\ (\pm 0/01)$			$0/05^a\ (\pm 0/00)$	$0/04^a\ (\pm 0/00)$	$0/04^a\ (\pm 0/00)$	$0/03^a\ (\pm 0/00)$
AWC	$0/092^b\ (\pm 0/02)$			$0/081^c\ (\pm 0/03)$	$0/087^b\ (\pm 0/02)$	$0/104^a\ (\pm 0/02)$	$0/090^b\ (\pm 0/05)$
$\rho_b$	$1/145^a\ (\pm 0/26)$			$1/155^b\ (\pm 0/18)$	$1/150^b\ (\pm 0/09)$	$1/148^a\ (\pm 0/16)$	$1/154^b\ (\pm 0/22)$
$\theta_s$				$0/43^a\ (\pm 0/15)$	$0/42^a\ (\pm 0/05)$	$0/44^a\ (\pm 0/11)$	$0/42^a\ (\pm 0/18)$
FC	$0/201^a\ (\pm 0/08)$			$0/169^c\ (\pm 0/08)$	$0/175^b\ (\pm 0/07)$	$0/199^a\ (\pm 0/09)$	$0/176^b\ (\pm 0/07)$
PWP	$0/05^a\ (\pm 0/01)$			$0/05^a\ (\pm 0/00)$	$0/05^a\ (\pm 0/01)$	$0/05^a\ (\pm 0/01)$	$0/06^a\ (\pm 0/03)$
AWC	$0/151^a\ (\pm 0/07)$			$0/109^d\ (\pm 0/05)$	$0/125^b\ (\pm 0/04)$	$0/149^a\ (\pm 0/05)$	$0/116^c\ (\pm 0/05)$
$\rho_b$	$1/126^b\ (\pm 0/09)$			$1/138^a\ (\pm 0/24)$	$1/133^a\ (\pm 0/11)$	$1/124^b\ (\pm 0/08)$	$1/129^b\ (\pm 0/16)$
$\theta_s$				$0/53^a\ (\pm 0/10)$	$0/51^a\ (\pm 0/21)$	$0/54^a\ (\pm 0/05)$	$0/52^a\ (\pm 0/12)$
FC	$0/254^a\ (\pm 0/10)$			$0/240^b\ (\pm 0/09)$	$0/242^b\ (\pm 0/16)$	$0/252^a\ (\pm 0/16)$	$0/228^c\ (\pm 0/11)$
PWP	$0/05^a\ (\pm 0/04)$			$0/09^a\ (\pm 0/02)$	$0/09^a\ (\pm 0/05)$	$0/09^a\ (\pm 0/06)$	$0/07^a\ (\pm 0/04)$
AWC	$0/164^a\ (\pm 0/10)$			$0/150^b\ (\pm 0/07)$	$0/152^b\ (\pm 0/04)$	$0/162^a\ (\pm 0/06)$	$0/158^b\ (\pm 0/11)$
$\rho_b$	$1/134^a\ (\pm 0/18)$			$1/158^a\ (\pm 0/21)$	$1/151^a\ (\pm 0/23)$	$1/138^a\ (\pm 0/15)$	$1/141^a\ (\pm 0/09)$
$\theta_s$				$0/51^a\ (\pm 0/25)$	$0/49^b\ (\pm 0/17)$	$0/50^a\ (\pm 0/33)$	$0/48^a\ (\pm 0/14)$
FC	$0/240^a\ (\pm 0/10)$			$0/08^a\ (\pm 0/00)$	$0/09^a\ (\pm 0/05)$	$0/244^a\ (\pm 0/17)$	$0/229^b\ (\pm 0/11)$
PWP	$0/05^a\ (\pm 0/00)$			$0/08^a\ (\pm 0/02)$	$0/09^a\ (\pm 0/05)$	$0/164^a\ (\pm 0/10)$	$0/149^b\ (\pm 0/11)$
AWC	$0/160^a\ (\pm 0/04)$			$0/141^c\ (\pm 0/05)$	$0/145^c\ (\pm 0/08)$	$0/164^a\ (\pm 0/10)$	$0/149^b\ (\pm 0/11)$

\* اعداد داخل پرانتز نشان‌دهنده انحراف معيار داده‌هاست.



شکل ۳. منحنی مشخصه نمونه خاک‌های مورد بررسی (خاک ۱: رس و ماده آلی پایین، خاک ۲: رس و ماده آلی بالا، خاک ۳: رس و ماده آلی بالا و خاک ۴: رس بالا - ماده آلی پایین) پس از چرخه‌های مختلف ترو خشک شدن (بدون ترو خشک شدن T0؛ یک چرخه T1؛ سه چرخه T3 و پنج چرخه T5)

سبب توزیع بیشتر اندازه ذرات در این خاکها طی چرخه‌های تر و خشکشدن شد.

۳. مواد آلی از جمله عوامل مهم در تشکیل و پایداری ساختمان خاک است. مواد آلی با ایجاد پوشش‌های آبگریز در اطراف خاکدانه‌ها سبب کاهش سرعت نفوذ آب به درون خاکدانه‌ها شد و مقاومت آن‌ها را در تنفس ناشی از خیس‌شدن افزایش می‌دهد.

۴. ارتباط افزایش چرخه‌های متوالی تر و خشکشدن با کاهش پایداری ساختمان در نمونه خاکها را می‌توان به ایجاد درز و ترکهای ریز در سطح خاکدانه‌ها نسبت داد.

## REFERENCES

- Angers, D.A. and Carter, M.R. (1996) Aggregation and organic matter storage in cool, humid agricultural soils. In Carter, M. R., Stewart, B. A. (eds): Structure and Organic Matter Storage in Agricultural Soils. CRC Press, p. 193–211.
- Black, G.R. and Hartge, K.H. (1986) Bulk density. In: Klute, A. (Ed.) "Methods of Soil Analysis. Part 1. Physical and Mineralogical Methods". SSSA/ASA. Monograph 9. 2<sup>nd</sup> ed. pp: 347–380.
- Boravka, L., Valla, M., Donatova, H. and Nemecek, K. (1997) Vulnerability of soil aggregate in relation to soil properties. Czech University of Agriculture in Pregue, Czech Republic.
- Clement, C.R. (1966) A simple and reliable tension table. *J. Soil Sci.* 17, 133–135.
- Chenu, C., Le Bissonnais, Y. and Arrouays, D. (2000) Organic matter influence on clay wettability and soil aggregate stability. *Journal of Soil Science American Journal*, 64: 1479–1486.
- Defossez, P. and Richard, G. (2002) Models of soil compaction due to traffic and their evaluation. *Soil and Tillage Research*, 67, 41–64.
- Dexter, A.R. 1988. Advanced in the characterization of soil structure. *Soil and Tillage Research*, 11, 199–238.
- Dexter, A.R. and Kroesbergen, B. (1985) Methodology for determination of tensile strength soil aggregates. *Journal of Agricultural Engineering Research*, 31, 139–147.
- Dexter, A.R. and Watts, C.W. (2000) Tensile strength and friability. In: Smith, K.A. and Mullins, C.E. (Eds). *Soil and Environmental Analysis: Physical Methods*. 2<sup>nd</sup> Edition. Marcel Dekker, Inc. pp. 405–433.
- Elustondo, J., Angers, D.A., Laverdiere, M.R. and N'dayegamiye, A. (1990) Etude comparative de l'agrégation et de la matière organique associée aux fractions granulométriques de sept sols sous culture de maïs ou en prairie. *Canadian Journal of Soil Science*, 70, 395–402.
- Franzluebberes, A.D. (2002) Water infiltration and soil structure related to organic matter and stratification with depth. *Soil and Tillage Research*, 66, 197–205.
- Gee, G.W. and Bauder, J.W. (1986) Particle-size distribution. PP. 384–411. In: Klute, A. (Ed.), *Methods of Soil Analysis. Part 1. Physical and Mineralogical Methods*. 2nd ed., Agron. Monog. 9. ASA and SSSA, Madison, WI.
- Grant, C.D., Dexter, A.R. and Oades, J.M. (1992) Residual effects of additions of calcium compounds on soil structure and strength. *Soil and Tillage Research*, 22: 283–297.
- Horn, R., and Dexter, A.R. (1989) Dynamic of soil aggregation in an irrigated desert loess. *Soil and Tillage Research*, 13, 253–266.
- Kay, B.D. (1990) Rates of change of soil structure under different cropping systems. *Advanced Soil Science*, 12, 1–52.
- Khazaei, A., Mosaddeghi, M.R. and Mahboubi, A. (2008) Test conditions, and soil organic matter, clay and calcium carbonate contents' impacts on mean weight diameter and tensile strength of aggregates from some Hamadan soils. *Journal of Agricultural and Natural Resource Sciences and Technology of IUT*. 44: 123–135 (In Farsi).
- Klute, A. (1986) Water retention: laboratory methods. In: Klute A (Ed.) *Methods of Soil Analysis: Part I. Physics and Mineralogy Methods*, 2nd ed. Agronomy Monograph, ASA, WI, pp. 635–662.
- Le Bissonnais, Y. and Singer, M.J. (1993) Seal formation, runoff and interrill erosion from seventeen California soils. *Journal of Soil Science American Journal*, 57: 224–229.
- Lynch, J.M. and Bragg, E. (1985) Microorganisms and aggregate stability. *Advances in Soil Science*, 2: 133–171.
- McKenzie, B.M. and Dexter, A.R. (1987) Physical properties of casts of the earthworm Aporrectodea rosea. *Biology and Fertility of Soils*, 5, 152–157.
- Newman, A.C.D. and Thomasson, A.J. (1979) Rothamsted studies of soil structure. III. Pore size distributions and shrinkage processes. *Journal of Soil Science*, 30, 415–439.

## نتیجه‌گیری

۱. تر و خشکشدن تنفس معمول و گستردگی است که تقریباً همه خاک‌ها با آن مواجه می‌شوند و از مهم‌ترین فرایندهای محیطی است. چنانچه ترشدن به آهستگی صورت گیرد، معمولاً سبب افزایش خاکدانه‌سازی می‌شود.

۲. در خاک‌های بررسی شده، آثار چرخه‌های تر و خشکشدن در نمونه خاک‌های دارای رس بیشتر شدیدتر از نمونه خاک‌های دارای رس کمتر بود که بیانگر تأثیر مثبت رس در خاکدانه‌سازی و ایجاد منافذ است. در واقع، وجود رس بیشتر در نمونه خاک رسی، به علت ویژگی انقباض و انبساط بیشتر،

- Pagliari, M., La Marca, M. and Lucamante, G. (1987) Changes in soil porosity in remolded soils treated with poultry manure. *Soil Science*, 144, 128–140.
- Pillai, U.P. and McGarry, D. (1999) Structure repair of a compacted Vertisol with wet-dry cycles and crops. *Journal of American Society of Agronomy*, 63, 201–210.
- Pires, L.F., Bacchi, O.O.S. and Reichardt, K. (2004) Damage to soil physical properties caused by soil sampler devices as assessed by gamma ray computed tomography. *Australian Journal of Soil Research*, 42, 857–863.
- Pires, L.F., Bacchi, O.O.S. and Reichardt, K. (2007) Assessment of soil structure repair due to wetting and drying cycles through 2D tomographic image analysis. *Soil and Tillage Research*, 94, 537–545.
- Rahimi, H., Pazira, E. and Tajik, F. (2000) Effect of soil organic matter, electrical conductivity and sodium adsorption ratio on tensile strength of aggregates. *Soil and Tillage Research*, 54, 145–153.
- Rhoades, J.D. (1996) Salinity electrical conductivity and total dissolved solid. In: Page, A.L., Sommer, C.E. and Nelson, P.W. (Eds.) "Methods of Soil Analysis. Part 3. Chemical Methods". ASA/SSSA Madison, Wisconsin, USA. pp: 417–436.
- Safadoust, A., Mahboubi, A.A., Gharabaghi, B., Mosaddeghi, M.R., Voroney, P., Unc A. and Sayyad, Gh. (2011) Bacterial filtration rates in repacked and weathered soil columns. *Geoderma*, 167/168: 204–213.
- Safadoust, A., Mahboubi, A.A., Mosaddeghi, M.R., Gharabaghi, B., Unc, A., Voroney P. and Heydari, A. (2012a) Effect of regenerated soil structure on unsaturated transport of Escherichia coli and bromide. *Journal of Hydrology*, 430–431, 80–90.
- Safadoust, A., Mahboubi, A.A., Mosaddeghi, M.R., Gharabaghi, B., Voroney, P., Unc, A. and Khodakaramian, Gh. (2012b) Significance of physical weathering of two-texturally different soils for the saturated transport of E. coli and bromide. *Journal of Environmental Management*, 107, 147–158.
- Safadoust, A., Mosaddeghi, M.R., Mahboubi, A.A. and Yousefi, G. (2012c) Effects of Wetting/Drying, Freezing/Thawing and Earth Worm Activities on Soil Hydraulic Properties. *Journal of Water and Soil*, 26(2) 340–348(In Farsi).
- Shainberg, I., Rhoade J.D. and Prather, R.J. (1981) Effect of mineral weathering on clay dispersion and hydraulic conductivity of solid soils. *Soil Science Society American Journal*, 45, 273–277.
- Shiel, R.S., Adey, M.A. and Lodder, M. (1988) The effect of successive wet/dry cycles on aggregate size distribution in a clay texture soil. *Journal of Soil Science*, 39, 71–80.
- Sullivan, L.A. (1990) Soil organic matter, air encapsulation and water-stable aggregation. *Journal of Soil Science*, 41, 529–534.
- Telfair, D., Gardner M.R. and Miars, D. (1957) The restoration of a structurally degenerated soil. *Soil Science Society American Journal*, 21, 131–134.
- Tiplittgr, G.B.D., Vandoren B. and Schimdt, B.L. (1968) Effect of corn stUomo, W.H. and A.R. Dexter. 1982. Change in soil aggregate water stability induced by wetting and drying cycles in non-structured soil. *Journal of Soil Science*, 33, 623–637.
- Thomas, G.W. (1996). Soil pH and soil acidity. In: Page, A.L., Sommer, C.E. and Nelson, P.W. (Eds.). "Methods of Soil Analysis. Part 3. Chemical Methods". ASA/SSSA Madison, Wisconsin, USA. pp: 475–490.
- Utomo, W.H. and Dexter, A.R. (1981) Age hardening of agricultural top soils, *Journal of Soil Science*, 32, 335–350.
- Utomo, W.H. and A.R. Dexter. 1982 Changes in soil aggregate water stability induced by wetting drying cycles in non-saturated soil. *Journal of Soil Science*, 33, 623–637.
- Vogel, H.J. and Roth, K. (2003) Moving through scales of flow and transport in soil. *Journal of Hydrology*, 272, 95–106.
- Walkley, A. and Black, I.A. (1934) An examination of digestion method for determining soil organic matter and proposed modification of the chromic acid titration. *Soil Science*, 37, 29–38.
- Watts, C.W., Whalley, W.R., Longstaff, D.J., White, R.P., Brookes, P.C. and Whitmore, A.P. (2001) Aggregation of a soil with different cropping histories following the addition of organic materials. *Soil Use Management*, 17, 263–268.
- Yoder, R.E. (1936) A direct method of aggregate analysis of soils and a study of the physical nature of erosion losses. *Journal of American Society of Agronomy*, 28, 337–351.
- Zhang, B., Horn, R. and Hallett, P. D. (2005) Mechanical resilience of degraded soil amended with organic matter. *Soil Science Society American Journal*, 69, 864–871.
- Zund, P.R., Pillai-McGarry, U., McGarry, D. and Bray, S.G. (1997) Repair of a compacted Oxisol by the earthwormponoscolex corethrurus (Glossoscolecidae Oligochaeta). *Biology and Fertility of Soils*, 25, 202–208.